

كلية العلوم

القسم : المهنرياء

السنة : الرابعة



المادة : انصاف نوافل

المحاضرة : الثانية/نظري/

{{{ A to Z مكتبة }}}}

مكتبة A to Z Facebook Group

كلية العلوم ، كلية الصيدلة ، الهندسة التقنية

11

يمكنكم طلب المحاضرات برسالة نصية (SMS) أو عبر (What's app-Telegram) على الرقم 0931497960

## 3-5 آليات إعادة اتحاد الحاملاة اللامتوازنة للشحنة:

## Recombination Mechanisms of the Charge Non-equilibrium Carriers

- يأخذ طول المسار الحر الوسطي للإلكترونات في أنصاف النوافل قيمًا من رتبة  $10^{-6} \text{ cm}$  (أي من رتبة  $0.01 \mu\text{m}$  أو  $10 \text{ nm}$ ، وتبلغ السرعة الحرارية الوسطية في درجة حرارة الغرفة  $10^7 \text{ cm/s}$ ، بحيث يبلغ الزمن الوسطي بين تصادمين متتالين نحو  $10^{-13} \text{ s} = 0.1 \text{ ps}$ .
- فإذا تعرّض حامل شحنة حار لامتوازن لألف تصادم مثلاً، فإن ذلك كافي لتشتيت طاقة زائدة من رتبة  $1 \text{ eV}$ ، ومن ثم حتى من أجل مثل هذه الطاقة الزائدة الكبيرة، فإن حامل الشحنة الحار، خلال  $10^{-10} \text{ s} = 100 \text{ ps}$  تقريباً من بعد عملية توليده يُصبح "طبيعياً" عند مستوى حقن منخفض<sup>1</sup>.
- وهذا ما يجعلنا نعتقد أن الحاملاة اللامتوازنة للشحنة عند مستوى منخفض من الحقن تكون موزعة على طاقاتها بالطريقة التي تتوزع فيها الحاملاة المتوازنة.
- وعندما يكون مستوى الحقن مرتفعاً، تستطيع الحاملاة الحارة أن ترفع درجة حرارة نصف ناقل أو عازل بشكل ملحوظ. وبما أن فترة الحياة للحاملاة يمكن أن تكون أكبر بكثير من دور "التأقلم" المشار إليه، فإننا نفرض أن الحاملاة اللامتوازنة للشحنة لا تختلف، خلال كامل فترة حياتها القصيرة نسبياً، عن الحاملاة المتوازنة.
- وعند توافر عدة أشكال لمراكز إعادة الاتحاد يمكننا إيجاد فترة الحياة الفعلية للإلكترونات من العلاقة

$$\frac{1}{\tau_n} = \sum_i \frac{1}{\tau_{ni}}. \quad (78-5)$$

ولكن جرت العادة، وصف إعادة اتحاد الإلكترونات والتعوب الحرية التي تجري مباشرةً أو عبر محطات بينية (مراكز إعادة الاتحاد). نقدم في الفقرة القادمة وصفاً لإعادة اتحاد أزواج إلكترونية- ثقبية.

<sup>1</sup> طبيعياً بمعنى أن درجة حرارته تُصبح من درجة حرارة الشبكة البلورية

## 3-5 دراسة معامل إعادة اتحاد الحاملات اللامتوازنة للشحنة وفترة حياتها:

## Study of Recombination Coefficient of Charge Non-equilibrium Carriers and their Life Time

إن عملية توليد حاملات الشحنة وإعادة اتحادها تتواءن في شروط التوازن الترموديناميكي ويساوي تركيزها اللامتوازن تركيزها المتساوى. فإذا رمزنا لعدد الأزواج الإلكترونية- التقبية بالرمز  $G_0$  وعدد الأزواج المعد اتحادها بالرمز  $R_0$ ، يمكننا كتابة المساواة:

$$G_0 = R_0. \quad (79-5)$$

فضلاً عن أنه يمكننا التعبير عن  $R_0$  بالمعادلة:

$$R_0 = \gamma_r n_0 p_0 = \gamma_r n_i^2, \quad (80-5)$$

حيث  $\gamma_r$  معامل تناسب، يسمى معامل إعادة الاتحاد،

و  $n_0$  و  $p_0$  التركيز المتساوى للإلكترونات والثقوب في نصف الناقل، على الترتيب.

لقد ذكرنا سابقاً، أن الحاملات اللامتوازنة للشحنة تُصبح بعد فترة قصيرة من الزمن غير مختلفة عن الحاملات المتساوزنة، ولذلك يمكن الاعتقاد بأنها تتصف بمعامل إعادة الاتحاد ذاته،  $\gamma_r$ ، الذي تتصف به الحاملات المتساوزنة للشحنة. وحينئذ يمكن كتابة علاقة سرعة إعادة الاتحاد للحاملات اللامتوازنة للشحنة بالشكل الآتي:

$$R = \gamma_r np. \quad (81-5)$$

في الواقع، يدخل في هذه العلاقة، الحد الممثل بالمعادلة (80-5)، لأن التركيزان اللامتوازنة  $n$  و  $p$  يحييان التركيزين المتساوزنين  $n_0$  و  $p_0$ ، أي يؤخذ فيما بالحساب، إعادة اتحاد الحاملات المتساوزنة أيضاً. ولذلك، إذا عُنِيت سرعة إعادة الاتحاد بالمعادلة (81-5) ودُرِست معادلة الاستمرارية في ظروف غياب التوليد الخارجي، فلا بد من احتساب التوليد الحراري،  $G_0$ ، في هذه الحالة. تأخذ معادلة الاستمرارية في غياب التيار الكهربائي الشكل الآتي:

$$\frac{\partial n}{\partial t} = \frac{\partial p}{\partial t} = G_0 - \gamma_r np, \quad (82-5)$$

أو بالشكل الآتي:

$$\begin{aligned} \frac{\partial n}{\partial t} &= \gamma_r n_0 p_0 - \gamma_r np = \gamma_r n_0 p_0 - \gamma_r (n_0 + \Delta n)(p_0 + \Delta p). \\ \therefore \frac{\partial n}{\partial t} &= -\gamma_r (n_0 \Delta p + p_0 \Delta n + \Delta n \Delta p). \end{aligned} \quad (83-5)$$

وإذا أخذنا بالحساب أن  $\Delta n = \Delta p$ ، في ظروف حقٍّ بمستوى منخفضٍ، تُصبح المعادلة (83-5) من الشكل:

$$\frac{\partial n}{\partial t} = -\gamma_r (n_0 + p_0) \Delta n = -\frac{\Delta n}{\tau_n}, \quad (84-5)$$

حيث

$$\tau_n = \frac{1}{\gamma_r (n_0 + p_0)}. \quad (85-5)$$

إن فترة الحياة هذه، لا تتغير في أثناء عملية إعادة اتحاد الحاملات اللامتوازنة للشحنة، مما يعني أنها تتوافق إعادة الاتحاد الخطّي التي يُعدُّ التركيز الفائق فيها تابعاً أسيّاً للزمن، وفق المعادلة (43-5)، في الفقرة السابقة:

$$\Delta n = (\Delta n)_0 e^{-\frac{t}{\tau_n}}, \quad (86-5)$$

ولكن، إذا كان مستوى حقن الحاملات اللامتوازنة عالياً، أي إذا تحققت المترابحة  $(n_0 + p_0) \gg \Delta n$ ، نحصل تبعاً للمعادلة (85-5)، على العلاقة الآتية:

$$\frac{\partial \Delta n}{\partial t} = -\gamma_r (\Delta n)^2 \quad \text{أو} \quad \frac{\partial n}{\partial t} = -\gamma_r (\Delta n)^2 \quad (87-5)$$

بهذا الشكل، يكون المقدار  $\frac{\partial n}{\partial t}$  تبعاً تربعياً بالنسبة للتركيز الفائض للإلكترونات،  $\Delta n$ ، وتدعى إعادة الاتحاد عندما، بإعادة الاتحاد التربعي. وبتكامل طرفي المعادلة (87-5) نحصل على قانون تغير  $\Delta n$  الآتي في حالة إعادة الاتحاد التربعي:

$$\Delta n = \frac{(\Delta n)_0}{1 + \gamma_r t (\Delta n)_0} \quad (88-5)$$

يأخذ القانون (88-5) شكل قطع زائد هنا، يحول إلى شكل أسي خلال فترة من الزمن بعد إزالة توليد حاملات الشحنة. إذ تُحرق المترابحة  $(n_0 + p_0) \gg \Delta n$  بعد انقضاء هذه الفترة، أي عندما ينخفض التركيز الفائض إلى قيمة، تتوافق مستوى الحقن المنخفض.

إذا استخدمنا مفهوم فترة الحياة؛ كخاصية مستمرة لعملية إعادة الاتحاد، يمكننا كتابة العلاقة الآتية، في ظروف حقن عالي المستوى (إعادة الاتحاد التربعي) وفق المعادلة (87-5):

$$\frac{\partial (\Delta n)}{\partial t} = -\frac{\Delta n}{\tau_n} = -\gamma_r (\Delta n)^2,$$

حيث

$$\tau_n = \frac{1}{\gamma_r \Delta n} \quad (89-5)$$

وهنا فترة الحياة تابعة للزمن،  $(t) = f = \tau_n$ ، لأن التركيز الفائض تابع للزمن  $(t) = f = \Delta n$ . عليه، تُعيَّن فترة الحياة اللحظية التي يمكن تمثيلها عموماً بشكل مماثل لشكل العلاقة (40-5) في الفقرة 5-2-2،  $\tau_n = -\Delta n / (\partial \Delta n / \partial t)$ . وختاماً، تجدر الإشارة إلى أنه يمكن التعبير عن فترة حياة الإلكترونات، من أجل مستوى منخفض للحقن، على أنها مقدار يتناسب تناصباً عكسياً مع كلٍ من مساحة مقطع اقتناص الإلكترونات على الثقوب،  $s_p$ ، والسرعة الوسطية للإلكترونات بالنسبة للثقوب،  $v_p$ ، وتركيز الثقوب،  $p$ :

$$\tau_n = \frac{1}{s_p v_p p} \approx \frac{1}{s_p v_p p_0} \quad (90-5)$$

وفي هذه الحالة، تمثل الكمية  $P_n = s_p v_p p_0$  احتمال اصطدام إلكترون بثقب خلال واحدة الزمن، أي احتمال إعادة اتحاد زوج مؤلف من إلكترون وثقب خلال واحدة الزمن.

من الواضح، أن العلاقاتين (85-5) و (90-5) تتطابقان عندما  $n \gg p$ ، ثم إن معامل إعادة الاتحاد،  $\gamma_r$ ، يساوي حاصل ضرب مقطع اقتناص الإلكترونات على الثقوب في السرعة الوسطية للإلكترونات بالنسبة للثقوب،  $\gamma_r = s_p v_p$ . إذا تم إيقاف الثقب ببطء، فإن الكمية  $v_p$  ستكون السرعة الحرارية الوسطية للإلكترونات، وحاصل ضرب المقاديرين (مقطع الاقتناص  $s_p$  في السرعة  $v_p$ )،  $s_p v_p$ ، احتمال التقاء إلكترون بثقب واحد.

يمكن استخدام علاقات مشابهة للعلاقات السابقة من أجل أنصاف نوافل إلكترونية. فمن أجل حقن بمستوى عالي، تُستبدل الكمية  $p$  بأخرى  $\Delta p$ ، فترصد عندها إعادة الاتحاد التربيعية.

### 5-3-2 إعادة الاتحاد بين العصابات الطافية : Band-To-Band Recombination

إذا اقتصرت إعادة الاتحاد على انتقال إلكترون مباشر من عصابة الناقلة إلى عصابة التكافؤ وإلغاء إلكترون وثقب؛ كحاملات حرة للشحنة، فإنها تدعى إعادة اتحاد ما بين العصابات الطافية (أو باختصار إعادة الاتحاد عصابة-عصابة). وهناك إعادة اتحاد تجري على مراحلتين، كما سنرى لاحقاً، تسمى إعادة الاتحاد عبر حالات طافية متوضعة *Energetic Localized States* في الفجوة الطافية (إعادة الاتحاد عبر المصائد *Traps*).

- يتغير طاقة الإلكترون بالفارق الموفق لسويات الطاقة.
- ثم إن هذا التغير، سواء حدث أثناء إعادة الاتحاد عصابة-عصابة أو عبر المصائد، يمكن أن يكون مرتبطاً بإصدار كمّات ضوء (فوتونات) أو بنقل الجزء الموفق من الطاقة إلى الشبكة البُلُوريَّة، أي إلى الفونونات.
- فضلاً عن ذلك، في أثناء إعادة الاتحاد عصابة-عصابة يمكن أن ينتقل جزء من الطاقة، خلال التصادمات، إلى حامل حرٍ ثالث للشحنة (في هذه الحالة تدعى إعادة اتحاد أوجيه أو عمليات أوجيه *(Auger Processes)*).

● تُعزى الحالتان الأخيرتان إلى إعادة الاتحاد اللامُشَع *Non-Radiative Recombination* ●

● أمّا إعادة الاتحاد المترافق بإصدار فوتونات، فتدعى إعادة اتحاد مُشَع *Radiative Recombination* ●

لقد ذكرنا، أنه عند إعادة الاتحاد الصدمي بين العصابات (إعادة اتحاد أوجيه) يجري تصادمٌ بين ثلاثة حاملات حرة للشحنة يؤدي إلى اتحاد زوج إلكترون-ثقب وانقال الطاقة الرابطة إلى حامل ثالث للشحنة. ثم يُقدم مثل هذا الحامل الحر للشحنة طاقته إلى الشبكة البُلُوريَّة (الفونونات).

تُشير الدراسات التجريبية إلى ندرة ملاحظة إعادة الاتحاد الصدمي بين العصابات الطافية فضلاً عن أنها تُصبح ملحوظةً فقط في درجات الحرارة العالية جداً في أنصاف النوافل ضيقة الفجوات الطافية (في *InSb* مثلاً). وعادةً ما يُشار إلى القيمة  $\Delta E = 0.3 \text{ eV}$ ، على أنها حدٌ شرطيٌ يفصل بين أنصاف النوافل واسعة الفجوات الطافية وأنصاف النوافل ضيقة الفجوات الطافية.

بناءً على ما تقدّم لا تُرصد عمليات أوجيه في أنصاف النوافل واسعة الفجوات الطافية؛ في *Si* و *Ge* مثلاً، إلا نادراً جداً. كما يندر فيها رصد إعادة الاتحاد عصابة-عصابة اللامُشَع - إعادة الاتحاد الفونوني *Phonon Recombination*. فالطاقة العظمى للفونونات لا تتجاوز عادةً  $0.1 \text{ eV}$  وطاقتها الوسطية أقل من ذلك أيضاً. إذن، لحدوث إعادة الاتحاد الفونوني لا بد من إصدار ليس أقل من عشرة فونونات بآنٍ معاً. ولكن احتمال حدوث العمليات متعددة الفونونات صغير ومن ثم، فإن إعادة الاتحاد عصابة-عصابة الفونوني في أنصاف النوافل واسعة الفجوات الطافية قليلة الاحتمال.

يصدر في أثناء إعادة الاتحاد عصابة-عصابة كمٌ ضوئيٌّ طاقته

$$h\nu = \Delta E_0 = E_c - E_v \quad (91-5)$$

وعندها، وكما يحدث في حالات أخرى، يبقى قانون انحفاظ الاندفاعة مصوناً أيضاً، ولذلك يكون لدينا:

$$P_c - P_v = \frac{h\nu}{c}, \quad (92-5)$$

حيث  $P_c$  و  $P_v$  كميتاً حركة الإلكترون والثقب في قاع وقمة العصايتين الطاقيتين الموافقتين على الترتيب، و  $h\nu/c$  كمية حركة الفونون.

بما أن اندفاع الفوتون صغير للغاية، فإننا نستنتج أنه في إعادة الاتحاد عصابة-عصابة المُشَع يُمكن أن تشارك فقط الإلكترونات والثقوب التي لاندفاعاتها الإشارة نفسها ومتقاربة بالقيمة عملياً. ومن ثم، تُرصد إعادة الاتحاد المُشَع عند الانتقالات الشاقولية (المباشرة) *Direct (Vertical Transitions)* للإلكترونات من عصابة الناقلة إلى عصابة التكافؤ، وذلك عندما تُمثل عصابة التكافؤ في الفراغ  $\bar{k}$ ، أي أن إعادة الاتحاد هذه تتحقق عملياً من دون أن يتغير العدد الموجي  $k$  في أثناء الانتقالات المشار إليها. وخلافاً لذلك، تكون إعادة الاتحاد الالامبَاشة ممكناً فقط عند الانتقالات الالامبَاشة *Non-direct Transitions* عندما يتغير  $k$ .

لقد درست سابقاً القوانين الأساسية لإعادة الاتحاد عصابة-عصابة الممثلة بالعلاقات من (79-5) حتى (90-5)، إذ يمكننا أن نجري من أجل حالة إعادة الاتحاد المُشَع حسابات إضافية؛ لأن نعيّن معامل إعادة الاتحاد آخرين بالحساب ميكانيكية العمليات المرافقة لذلك.

فإذا كان نصف الناقل في درجة حرارة ثابتة  $T$ ، فيوجد فيه عدد محدود من كمّات الضوء الحرية أو يوجد فيه كثافة محدودة من الطاقة الضوئية، وفي درجة حرارة الغرفة لا يكون عدد مثل هذه الكمّات كبيراً، ولكن من المهم أيضاً الإشارة إلى أنه ليس صفرًا.

لنفرض أن جزءاً من كمّات الضوء المُشَع قد اقتصر أثناء إعادة الاتحاد في نصف الناقل؛ فمن الواضح عندها أن الإشعاع والامتصاص، في حالة التوازن الحراري، يُعدلان بعضهما بعضاً. فعلى هذا الأساس يُعيّن معامل إعادة الاتحاد المُشَع. يمكن تطبيق العلاقة (79-5) على إعادة الاتحاد المُشَع بحيث يساوي عدد الأزواج المُعاد اتحادها عدد الكمّات المُشَعة أثناء إعادة الاتحاد في واحدة الحجم خلال واحدة الزمن.

فضلاً عن ذلك، يمكننا تعين عدد الكمّات بالشكل الآتي:

من المعلوم أن عدد الحالات الكوانтиة من أجل الفوتونات، التي اندفاعاتها تقع في المجال من  $P$  إلى  $P + dP$ ، في واحدة الزاوية المحسّنة،  $d\Omega$ ، يساوي  $dP^2 / h^3$ . ومن أجل تعين عدد الحالات الكوانтиة المشغولة بالفوتونات يجب ضرب الكمّية الأخيرة بتتابع توزّع بوزة - اينشتاين الآتي:

$$f = \frac{1}{e^{h\nu/k_B T} - 1}, \quad (93-5)$$

وعندما، يساوي عدد الفوتونات المُشَعة، التي اندفاعاتها في الزاوية المحسّنة  $d\Omega$  تساوي  $P$ :

$$dn_{ph} = \frac{2}{h^3} f P^2 dP. \quad (94-5)$$

يُضاعف الطرف الأيمن من المعادلة (17) لدى أخذ الاستقطابية المختلفة للفوتونات بالحساب؛ إذن، بالتعويض عن الاندفاع بما يساويه،

$$P = \frac{E}{v_{ph}} = \frac{h\nu}{v_{ph}} = \frac{h\nu}{c} \bar{n}, \quad (95-5)$$

حيث  $\bar{n}$  قرينة انكسار الوسط المدروس و  $c$  سرعة انتشار الضوء في الخلاء. نستطيع الحصول على العدد الكلي لكمات الضوء  $dN$  من خلال تكامل طرفي المساواة الأخيرة بالنسبة للزاوية المحسّنة  $d\Omega$ :

$$dN = \int_0^{4\pi} \frac{2}{h^3} f P^2 dP d\Omega = \frac{8\pi}{h^3} f P^2 dP = \frac{8\pi}{c^3} \frac{\bar{n}^3 v^2}{e^{\hbar v/k_B T} - 1} dv, \quad (96-5)$$

ولكن، ما يجري هو امتصاص جزء من هذه الكمات. فإذا كان احتمال امتصاص فوتون تواتره  $v$  مساوياً  $g(v)$  مثلاً، فإن عدد الكمات، التي يمتصها نصف الناقل في واحدة الحجم، وخلال واحدة الزمن يساوي

$$N = \int_0^{\infty} g(v) dN = \frac{8\pi}{c^3} \int_0^{\infty} \frac{\bar{n}^3(v) g(v) v^2}{e^{\hbar v/k_B T} - 1} dv. \quad (97-5)$$

يمكّنا استبدال الكمية  $g(v)$  بأخرى، بدلالة معامل امتصاص نصف الناقل  $\alpha(v)$  وقرينة انكساره، بغرض التعبير عن عدد الكمات الضوئية بدلالة معامل الامتصاص:

$$g(v) = \frac{c}{\bar{n}} \alpha(v),$$

إذن، في شرط التوازن، لا بد من أن يساوي عدد الكمات الضوئية الممتصصة لعدد الكمات التي أعيد اتحادها

$$R_0 = N . \text{ ومن ثم:}$$

نحصل من المعادلتين (97-5) و (80-5) على العلاقة الآتية:

$$\gamma_r = \frac{8\pi}{c^2 n_i^2} \int_0^{\infty} \frac{\bar{n}^2(v) \alpha(v) v^2 dv}{e^{\hbar v/k_B T} - 1}. \quad (98-5)$$

وبما أن معامل إعادة اتحاد الحاملات اللامتوازنة للشحنة يُطابق معامل إعادة اتحاد الحاملات المتوازنة، فيمكن استخدام الكمية  $\gamma_r$ ، المعروفة بالعلاقة (98-5)، من أجل تعين فترة حياة الحاملات اللامتوازنة في إعادة الاتحاد المشع.

إذن، عندما يكون مستوى الحقن منخفضاً،  $\Delta n = \Delta p$ ، حيث تتحقق العلاقة (84-5)، نجد:

$$\frac{1}{\tau_n} = \gamma_r (n_0 + p_0) = \frac{8\pi (n_0 + p_0)}{c^2 n_i^2} \int_0^{\infty} \frac{\bar{n}^2(v) \alpha(v) v^2 dv}{e^{\hbar v/k_B T} - 1}. \quad (99-5)$$

ومن أجل نصف ناقل ثقيبي،  $n_0 \ll p_0$ ، تتحقق المساواة

$$\tau_n = \frac{1}{\gamma_r p_0}$$

وунدها، تتحقق المساواة الآتية من أجل نصف ناقل ذاتي:

$$\tau_{ni} = \tau_{pi} = \frac{1}{2\gamma_r n_i} = \frac{1}{2\gamma_r \sqrt{N_c N_v}} e^{\Delta E_0 / 2k_B T}. \quad (100-5)$$

وبالتالي، في مجال نصف الناقل الثقيبي المُطعّم بذرات آخذه، يكون لدينا  $\tau_{ni} \gg \tau_{pi}$ ، على اعتبار أن  $n_i \gg p_0$ ، في هكذا نصف ناقل مشوب. وبهذه الطريقة نجد، أنه مع تناقص تركيز الآخذات في نصف الناقل من النوع- $p$ ،

أي باقتربه من نصف الناقل الذاتي، تزداد فترة حياة الحاملات اللامتوازنة للشحنة؛ ويمكننا الحصول على استنتاج مماثل من أجل نصف ناقل من النوع- $n$ .

من الواضح أيضاً أن فترة الحياة تتناقص بارتفاع درجة الحرارة، سواء كان نصف الناقل مُطعماً أم ذاتياً.

بيّنت الحسابات التي أجريت وفقاً لعلاقة من الشكل (5-69) أن قيم  $\tau$  من أجل الجermanium مثلاً، أكبر بثلاث مراتب على الأقل من القيم التي تم الحصول عليها تجريبياً. وهذا يعني أنه، في الحال الراهنة، لا تُعد إعادة الاتحاد ما بين العصابات الطاقية المُشَعَّ الآلية الأساسية لإعادة الاتحاد. وخلافاً لذلك، في أنتيمونيد الإنديوم InSb، وفي مجالٍ محدودٍ لدرجات الحرارة، يلاحظ تواافق جيد بين قيم  $\tau$  المحسوبة والتجريبية، مما يعني أنه في هذه الحالة، تُسيطر آلية إعادة الاتحاد المُشَعَّ.

بهذا الشكل، نرى أن ثمة إمكانية لرصد إعادة الاتحاد المُشَعَّ الذي يجري بين العصابات الطاقية وكذلك إعادة الاتحاد المُشَعَّ في أنصاف النوافل ضيقة الفجوات الطاقية. أما في أنصاف النوافل واسعة الفجوات الطاقية، فنادرًا ما تلاحظ إعادة الاتحاد بين العصابات الطاقية، ولكن إمكانية رصدها ترتفع فقط عندما تكون مستويات الحقن عاليةً جداً. وفيما خص مستوى الحقن المنخفض، فإن إعادة الاتحاد في أنصاف النوافل واسعة الفجوات الطاقية تجري بصورة رئيسة عبر مصائد إعادة الاتحاد المتوزعة في المنطقة المحظورة (الفجوة الطاقية).

### 3-3-5 إعادة الاتحاد عبر المصائد وفق شوكلي وريد

#### Shockley-Read Recombination through Traps

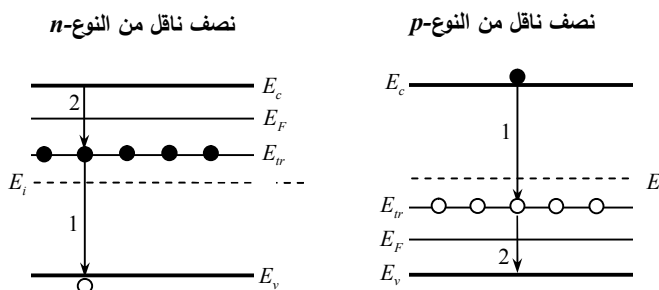
تحوي عادةً المواد نصف الناقلة شوائب من عدة أنواع بحيث تكون كل شائبة منها، في الفجوة الطاقية، سويةً طاقيةً أو عدة مستويات طاقية. نكتفي هنا بدراسة نوعاً واحداً فقط من مستويات الطاقة القادرة على اقتناص حاملات حرة للشحنة. لنرمز لهذا المستوى الطاقى بالرمز  $E_i$ ، كما يوضح الشكل (5-6). تجري إعادة الاتحاد في نصف ناقل من النوع- $n$  عبر مصائد مشغولة بـإلكترونات:

في البداية، يهبط إلكترون من السوية الطاقية  $E_i$  إلى عصابة التكافؤ، مما يعني أن المصيدة اقتنت ثقباً لامتوازناً، وعلى أثر ذلك، المصيدة التي أصبحت شاغرةً تقتنص إلكتروناً لامتوازناً من عصابة الناقلة، وبهذا تنتهي عملية إعادة اتحاد زوج ثقب عصابة التكافؤ وإلكترون عصابة الناقلة. وكما سنرى لاحقاً، يمكن لفترة حياة حامل الشحنة قبل الفعل الأول (المتمثل في اقتناص مصيدة لحامل شحنة لامتوازن وغير أساسى - ثقب) أن تكون

أطول بكثير من فترة الحياة قبل الفعل

الثاني (المتمثل في اقتناص مصيدة لحامل شحنة لامتوازن وأساسي - إلكترون). وفي هذه الحالة تتحدد فترة حياة زوج (ثقب - إلكترون) فقط بفترة حياة الحامل الأساسي للشحنة قبل الفعل الأول عملياً، أي بفترة حياته في العصابة الطاقية.

أما إعادة الاتحاد في نصف ناقل من



الشكل (5-6): سويات إعادة الاتحاد  $E_{tr}$  في نصف ناقل من النوع- $n$  (a) ونصف ناقل من النوع- $p$  (b). تشير الأسهم المرقمة إلى تسلسل إعادة الاتحاد

النوع-p فتجري عبر بشكلٍ معاكسٍ، أي عبر مصائد شاغرة: في البداية، يُقتتص من قبل المصيدة، حاملٌ للشحنة غير متوازن وغير أساسي - إلكترون من عصابة الناقلة، والمرحلة الثانية من عملية إعادة الاتحاد، تكمن في قنصل ثقبٍ غير متوازنٍ من عصابة التكافؤ للإلكترون من المصيدة أو في اقتناص ثقبٍ غير متوازن من قبل مصيدة. وفترة الحياة قبيل الفعل الأول (المتمثل في اقتناص إلكترون) هي التي تحدد عملياً فترة حياة الزوج (إلكترون-ثقب).

تدعى المصائد المشغولة أو الشاغرة القادرة على اقتناص حاملات شحنة على التعاقب، من هذه أو تلك الإشارة، أي المصائد التي تؤمن انتقال الإلكترونات من عصابة الناقلة إلى عصابة التكافؤ، مصائد إعادة اتحاد. ثم إن هذه المصائد يجب أن تكون متوزعة بجوار منتصف فجوة الطاقة. أضف إلى ذلك، يمكن لل المصائد أن تكون قادرة على اقتناص نوع واحد فقط من حاملات الشحنة والتي يمكنها أن تورّد هذه الحاملات فقط في الاتجاه المعاكس، إلى العصابة الطاقية المسموحة الموافقة. تدعى مثل هذه المصائد، مصائد اقتناصٍ وتكون موزعةً بالقرب من قاع أو سقف العصابات أي المسموحة.

**سنستنتج الآن علاقات فترة حياة زوج (إلكتروني - ثبقي)** عند حدوث إعادة الاتحاد عبر المصائد على عدة مراحل:

**المرحلة الأولى:**

يمكن التعبير عن معدل تغيير تركيز الإلكترونات الناتج من عمليات الاقتناص على المصائد وعمليات توليدتها في عصابة الناقلة المعاكسة بالعلاقتين الآتتين على الترتيب:

$$\left( \frac{\partial n}{\partial t} \right)_{tr} = -\gamma_n n N_{tr} (1 - f_{tr}), \quad (101-5)$$

$$\left( \frac{\partial n}{\partial t} \right)_g = \beta_n N_{tr} f_{tr}, \quad (102-5)$$

حيث  $\gamma_n$  معامل اقتناص الإلكترونات و  $\beta_n$  معامل توليدتها، و  $N_{tr}$  تركيز المصائد، و  $f_{tr}$ تابع توزع يصف انشغال المصائد بالإلكترونات.

يجري التعامل مع التابع  $f_{tr}$ ، في شروط التوازن، على أنه تابع فيرمي. يُعين المقدار  $(f_{tr} - 1)$  عدد المصائد الفارغة.

لنجد الآن العلاقة بين المعاملين  $\gamma_n$  و  $\beta_n$ . إذا درسنا شروط التوازن عوضاً عن شروط عدم التوازن، فيمكننا كتابة المعادلة

$$\frac{\partial n}{\partial t} = \left( \frac{\partial n}{\partial t} \right)_{tr} + \left( \frac{\partial n}{\partial t} \right)_g = 0.$$

أضف إلى ذلك، طالما أن الحاملات اللامتوازنة للشحنة في القسم الأكبر من فترة حياتها لا تختلف عن الحاملات المتوازنة، فإن المعاملين  $\gamma_n$  و  $\beta_n$  يأخذان قيمًا متساويةً، سواء من أجل الحاملات اللامتوازنة للشحنة أو من أجل الحاملات المتوازنة. غير أن هذه الحالة محققة من أجل ذلك المستوى من الحقن، عندما لا تُرصد أي عملية تحل في نصف الناقل.

إذن، في شروط التوازن، لدينا:

$$\gamma_n n_0 N_{tr} (1 - f_{0tr}) = \beta_n N_{tr} f_{0tr} \quad (103-5)$$

ومنه:

$$\beta_n = \gamma_n n_0 \frac{1 - f_{0tr}}{f_{0tr}}. \quad (104-5)$$

ثم إن تابع التوزع يساوي:

$$f_{0tr} = \frac{1}{e^{\frac{F_{tr} - E_F}{k_B T}} + 1}; \quad (105-5)$$

ومن ثم

$$\frac{1 - f_{0tr}}{f_{0tr}} = e^{\frac{F_{tr} - E_F}{k_B T}}. \quad (106-5)$$

ومن ثم

$$\beta_n = \gamma_n n_0 e^{\frac{F_{tr} - E_F}{k_B T}}. \quad (107-5)$$

سنرمز للتركيز المتوازن للإلكترونات،  $n_0$ ، عند انطباق سوية المصيدة على سوية فيرمي بالرمز  $n_1$ . في

هذه الحالة، يمكن كتابة العلاقة (107-25) بالشكل الآتي:

$$\beta_n = \gamma_n n_1. \quad (108-5)$$

وهكذا نحصل من العلاقات (101-102)، و (102-5)، و (103-5) على المعادلة الآتية:

$$\frac{\partial n}{\partial t} = \left( \frac{\partial n}{\partial t} \right)_{tr} + \left( \frac{\partial n}{\partial t} \right)_g = \gamma_n N_{tr} [n(1 - f_{tr}) - n_1 f_{tr}]. \quad (109-5)$$

المرحلة الثانية:

يمكن التعبير عن معدل تغير تركيز الثقوب الناتج من عمليات الاقتناص على المصائد وعمليات توليد الثقوب في عصابة التكافؤ المعاكسة بالشكل الآتي:

$$\left( \frac{\partial p}{\partial t} \right)_{tr} = -\gamma_p p N_{tr} f_{tr}, \quad (110-5)$$

$$\left( \frac{\partial p}{\partial t} \right)_g = \beta_p N_{tr} (1 - f_{tr}), \quad (111-5)$$

حيث  $\gamma_p$  معامل اقتناص الثقوب و  $\beta_p$  معامل توليدتها.

لدينا في شروط التوازن термодинамический  $\frac{\partial p}{\partial t} = 0$ ، ولذلك نحصل على المعادلة الآتية:

$$\gamma_p p_0 f_{0tr} = \beta_p N_{tr} (1 - f_{0tr}) \quad (112-5)$$

ومنه وباستخدام تابع التوزيع (28-25) نجد أن:

$$\beta_p = \gamma_p p_1. \quad (113-5)$$

حيث  $p_1$  التركيز المتوازن للثقوب عند تحقق الشرط  $F_{tr} = E_F$ ، أي عند انطباق سوية المصيدة على سوية فيرمي.

وهكذا نحصل من العلاقات (110-5)، و (111-5)، و (113-5) على المعادلة الآتية:

$$\frac{\partial p}{\partial t} = \left( \frac{\partial p}{\partial t} \right)_{tr} + \left( \frac{\partial p}{\partial t} \right)_g = -\gamma_p N_{tr} [p f_{tr} - p_1 (1 - f_{tr})]. \quad (114-5)$$

### المرحلة الثالثة:

إذا كان تركيز المصائد صغيراً بالمقارنة مع تركيز الحاملات الفائضة للشحنة، بحيث يمكن إهمال كمية الإلكترونات "القابعة" في المصائد، واعتبار أن  $\Delta n = \Delta p$  ، فيمكننا كتابة المساواة الآتية:

$$\frac{\partial n}{\partial t} = \frac{\partial p}{\partial t}.$$

ويمقارنة الطرفين اليمينيين للمعادلين (109-5) و (114-5) مع بعضهما البعض نحصل على المساواة:

$$\gamma_n N_{tr} [n(1 - f_{tr}) - n_1 f_{tr}] = \gamma_p N_{tr} [p f_{tr} - p_1 (1 - f_{tr})]. \quad (115-5)$$

ومنه نحصل علىتابع توزيع المصائد الآتي:

$$f_{tr} = \frac{\gamma_n n_1 + \gamma_p p_1}{\gamma_n (n + n_1) + \gamma_p (p + p_1)}. \quad (116-5)$$

وبالتعويض عن العلاقة الأخيرة في المعادلة (109-5) أو (114-5) نجد:

$$\frac{\partial n}{\partial t} = \frac{\partial p}{\partial t} = -\gamma_n N_{tr} \left[ n \left( 1 - \frac{\gamma_n n_1 + \gamma_p p_1}{\gamma_n (n + n_1) + \gamma_p (p + p_1)} \right) - n_1 \frac{\gamma_n n_1 + \gamma_p p_1}{\gamma_n (n + n_1) + \gamma_p (p + p_1)} \right]$$

ومن ثم

$$\frac{\partial n}{\partial t} = \frac{\partial p}{\partial t} = \frac{\gamma_n \gamma_p N_{tr} (np - n_1 p_1)}{\gamma_n (n + n_1) + \gamma_p (p + p_1)}. \quad (117-5)$$

وإذا أخذنا بالحساب المساواة،  $n_1 p_1 = n_i^2 = n_0 p_0$  ، نحصل على العلاقة الآتية:

$$\tau_n = -\frac{\Delta n}{\partial n / \partial t} = \frac{1}{\gamma_p N_{tr}} \cdot \frac{n_0 + n_1 + \Delta n}{n_0 + p_0 + \Delta n} + \frac{1}{\gamma_n N_{tr}} \cdot \frac{p_0 + p_1 + \Delta p}{n_0 + p_0 + \Delta p}. \quad (118-5)$$

وبإدخال الرموز الآتىين

$$\tau_{p0} = \frac{1}{\gamma_p N_{tr}} \quad \text{و} \quad \tau_{n0} = \frac{1}{\gamma_n N_{tr}} \quad (119-5)$$

إلى العلاقة الأخيرة نستطيع إعداد كتابة المعادلة (118-5) لتصبح من الشكل الآتى:

$$\tau = \tau_{p0} \frac{n_0 + n_1 + \Delta n}{n_0 + p_0 + \Delta n} + \tau_{n0} \frac{p_0 + p_1 + \Delta p}{n_0 + p_0 + \Delta p}. \quad (120-5)$$

تعبر العلاقة (118-5) أو (120-5) عن فترة حياة زوج (الكتروني - ثقب) عند إعادة الاتصال عبر المصائد،

وتسمى علاقة شوكلي - ريد Shockley-Read Relation.

عندما يكون مستوى الحقن منخفضاً، يمكننا كتابة العلاقة الآتية:

$$\tau = \tau_{p0} \frac{n_0 + n_1}{n_0 + p_0} + \tau_{n0} \frac{p_0 + p_1}{n_0 + p_0}. \quad (121-5)$$

## 4-3-5 الدراسة التحليلية- البيانية لآلية إعادة الاتحاد عبر المصائد:

تُعد فترة حياة زوج (الإلكتروني - ثقب) عند إعادة الاتحاد عبر المصائد، كما يتضح من العلاقة (120-5)،

تابعًا لمجموعة من الوسطاء:

$$\tau = f(n_0, p_0, n_1, p_1, \Delta n, N_{tr}, \gamma_n, \gamma_p). \quad (122-5)$$

ومن الواضح، أن فترة الحياة تتصل بدرجة الحرارة، لأن معظم هذه الوسطاء تُعد توابعًا لدرجة الحرارة. لنجر الآن دراسة بيانية لآلية إعادة الاتحاد عبر المصائد، باختيار تركيز الحاملات المتوازنة للشحنة ثم درجة الحرارة؛ بمثابة متغيرين مستقلين.

## أولاً- التابعية للتركيز المتوازن لحاملات الشحنة:

يوضح الشكل (7-5) ثلاث تابعيات للتركيز المذكور:

• تابعية مستوى فيرمي  $E_F = f(n_0)$

◦ والتابعية  $\ln \beta = f(n_0)$

حيث يمكن أن ترمز  $\beta$  للتركيز المتوازن للإلكترونات  $n_0$ ، وللتركيز المتوازن للثقوب  $p_0$ ، ولتركيز المصائد المشغولة بالإلكترونات  $n_{tr}$ ،

ولتركيز المصائد غير المشغولة بالإلكترونات (الفارغة)، أي لتركيز الثقوب في المصائد  $p_{tr}$ .

من المعلوم، أن التركيز المتوازن من أجل نصف ناقل غير متصل مرتبط بسوية فيرمي بالعلاقة

$$n_0 = N_c e^{-\frac{E_c - E_F}{k_B T}}, \quad (123-5)$$

ومن ثم

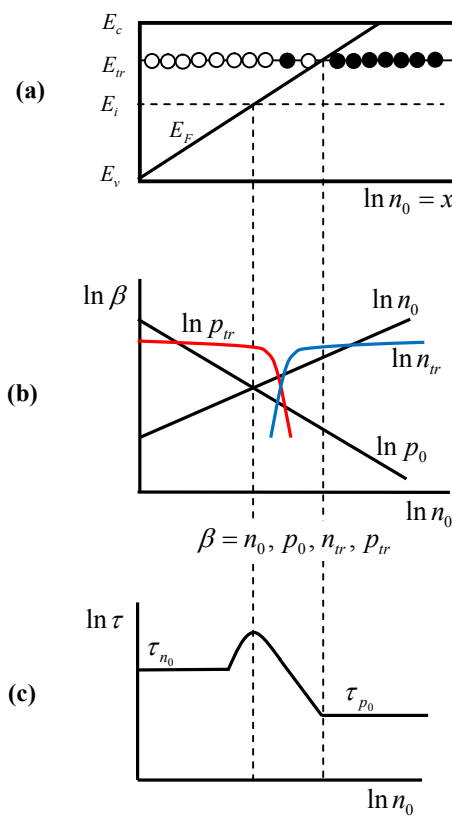
$$\ln n_0 = \ln N_c - \frac{E_c}{k_B T} + \frac{E_F}{k_B T}, \quad (124-5)$$

تُعد التابعية  $(\ln n_0 = f(\ln n_0, E_F))$ ، عند ثبات درجة الحرارة ووفقاً للعلاقة الأخيرة، خطية وهذا ما يوضحه الشكل (7a-5). تُعين أصغر قيمة للتركيز المتوازن  $n_0$  وأكبر قيمة له من العلاقة (124-5) بوضع  $E_F = E_c$  و  $E_F = E_v$  على الترتيب: في المجال الأيمن من مخطط عصابات الطاقة لنصف ناقل من النوع  $n$  في الشكل (7a-5)، عندما تقع سوية فيرمي فوق السوية الطاقية للمصائد،  $E_{tr}$ ، يجب أن تكون كل المصائد مشغولة بالإلكترونات، أما من أجل نصف ناقل من النوع  $p$  (الجزء الأيسر من الشكل (7a-5)) فعلى العكس من ذلك، عندما يكون مستوى فيرمي أخفض من مستوى المصائد بشكل ملحوظ، تبدو هذه المصائد فارغة. إذن، شرطاً لإعادة اتحاد الحاملات اللامتوازنة وغير الأساسية للشحنة (الأقلية)، في نصف ناقل من النوع  $n$  ومن النوع  $p$ ، مختلفان بهذا المعنى. ففي الحالة الأولى، إعادة اتحاد الثقوب والإلكترونات اللامتوازنة تجري عبر مصائد مشغولة، أما في الحالة الثانية، تجري إعادة اتحاد الإلكترونات والثقوب عبر مصائد فارغة.

يوضح الشكل (7b-5) تمثيلاً لتركيز الإلكترونات والثقوب في المصائد من خلال المحنين  $\ln n_{tr}$  و

$\ln p_{tr}$  على الترتيب، على فرض أن تركيز المصائد ثابت على كامل الطول،  $x$ ، بحيث تأخذ الكميتان  $n_{tr}$  و

$\ln p_{tr}$  قيمًا متساوية في المجالين؛ الإلكتروني والثقب على الترتيب.



الشكل (7-5): تابعية المتحولات الآتية للتركيز المتوازن للإلكترونات الحرة  $n_0$ : سوية فيرمي  $E_F$  في مخطط عصابات الطاقة (a)؛ والتركيز المتوازن للإلكترونات والثقوب وتركيز المصائد المشغولة والفارغة (b)؛ وفترة حياة الأزواج  $\tau$  الإلكترونية- الثقبية (c) (لم يوضع تدريج المحاور ومبدأ الإحداثيات لكون المنحنيات تملك هنا شكلاً وصفياً لاكياً).

ومن أجل مستوى تعليم ضعيف، تنخفض التراكيز المشار إليها هنا. وهذا ما أخذ بالحساب على شكل فارق في كثافي الإلكترونات والثقوب في المستوى الطاقي،  $E_{tr}$ ، المشار إليه في الشكل (6a-5). فالتابعية  $\ln p_0 = f(\ln p_0)$  و  $\ln n_0 = f(\ln n_0)$  خطيتان وتقاطعان في نقطة، توافق نصف ناقل ذاتي.

ويظهر في الشكل (7c-5) تابعية فترة حياة زوج (إلكتروني- ثقب)،  $\tau$ ، للتركيز، وفقاً للعلاقة (120-5) والإحداثيات لوغاريمية، كما في الشكل (7b-5) في كلا المحورين.

### I. تتحقق من أجل نصف ناقل إلكتروني ومستوى منخفض للحقن المترافق الآتي:

$$n_0 \gg p_0; \quad n_0 \gg n_1;$$

$$n_0 \gg p_1; \quad n_0 \gg \Delta p;$$

ومن ثم

$$\frac{p_0 + p_1 + \Delta p}{n_0 + p_0 + \Delta p} \ll 1 \quad (125-5)$$

$$\frac{n_0 + n_1 + \Delta n}{n_0 + p_0 + \Delta n} \cong 1 \quad (126-5)$$

وعندما، يمكن كتابة العلاقة (43-25) بشكل تقريري وفق الآتي:

$$\tau = \tau_{p0} = \frac{1}{\gamma_p N_{tr}}. \quad (127-5)$$

إذن تتعين فترة حياة ثقب- إلكترون في نصف ناقل غير متحلل من النوع الإلكتروني بفترة حياة الثقب قبيل اقتناصه في المصيدة. وتحدد الكمية  $\gamma_p N_{tr}$  احتمال اقتناص الثقب من قبل المصيدة ويمثل مقلوبها فترة حياة الثقب عند اقتناصه. والعلاقة (127-5) تشابه العلاقة (90-5) ويمكن التعبير عن معامل اقتناص الثقوب على المصائد،  $\gamma_p$ ، كحاصل ضرب المقطع الفعال لمراكز إعادة الاتصال  $s$  في سرعة الثقوب  $v_{ptr}$  بالنسبة لهذه المراكز، أما تركيز المراكز  $N_{tr}$  فيشابة تركيز حاملات الشحنة بإشارة مخالفة في العلاقة (90-5).

وهكذا نجد أنه في نصف ناقل من النوع-n، تُعرَّف فترة حياة زوج ثقب- إلكتروني بفترة حياة الثقب في عصابة التكافؤ قبل أن تقتناصه المصيدة. بتعبير آخر، يجب أن نأخذ بالحساب هنا فقط المرحلة الأولى لإعادة الاتصال (اقتناص حامل شحنة غير أساسية على المصيدة). والمرحلة الثانية من عملية إعادة الاتصال تكون قصيرة جداً عملياً، ولا توجد ضرورة لأخذها بالحساب. وينسّر ذلك، بأن عدد الإلكترونات في عصابة الناقلة كبير جداً،

وحلما تتحرر المصيدة (بمعنى تُصبح شاعرةً وتقتنص ثقباً)، فإنها تشغل مباشرةً بأحد إلكترونات الناقلة ذات الأعداد الكبيرة.

II. أما من أجل نصف ناقل ثقبٍ ومستوى منخفضٍ للحقن فيكون لدينا:

$$p_0 \gg n_0; \quad p_0 \gg p_1; \quad p_0 \gg n_1; \quad p_0 \gg \Delta n;$$

ومن ثم

$$\frac{p_0 + p_1 + \Delta p}{n_0 + p_0 + \Delta p} \approx 1 \quad (128-5)$$

$$\frac{n_0 + n_1 + \Delta n}{n_0 + p_0 + \Delta n} \ll 1 \quad (129-5)$$

وعندها، تُصبح علاقة فترة حياة زوج إلكتروني - ثقبٍ من الشكل الآتي:

$$\tau = \tau_{n0} = \frac{1}{\gamma_n N_{tr}}. \quad (130-5)$$

إذن تتعين فترة حياة زوج إلكتروني - ثقبٍ في نصف ناقل غير متصل من النوع الثقبٍ بفترة حياة إلكترونٍ في عصابة الناقلة قبيل اقتناصه في المصيدة الممثّلة بالكمية  $\tau_{n0}$ .

ويمكّنا على غرار ما فعلناه في الحالة السابقة، أن نجري تشابهًا مع العلاقات التي تُعيّن فترة الحياة بدلالة عدد الاصطدامات الممكّنة. فهنا تُعيّن فترة حياة الزوج بفترة حياة الحاملات غير الأساسية (الأقلية) للشحنة - الإلكترونات، أي إنها تتعلق بالمرحلة الأولى فقط من عملية إعادة الاتحاد عبر المصائد الفارغة.

تكون عادةً  $\tau_{n0} \gg \tau_{p0}$ ، وهذا مرتبط بالعلاقة العكسيّة لمعاملات إعادة الاتحاد الموافقة،  $\gamma_n < \gamma_p$ .

ومن أجل نصف ناقل من النوع  $n$ -، مطعّم بشكل ضعيف، عندما  $E_{tr} > E_F$ ، يكون لدينا:

$$n_0 \gg p_1 \quad \text{و} \quad n_0 \gg p_0$$

ولكن  $n_1 < n_0$ ، ومن ثم:

$$\tau = \tau_{p0} \frac{n_1}{n_0}. \quad (131-5)$$

وبما أن:

$$n_0 = N_c e^{-\frac{E_c - E_F}{k_B T}}; \quad (132-5)$$

$$n_1 = N_c e^{-\frac{E_c - E_{tr}}{k_B T}}, \quad (133-5)$$

نحصل على العلاقة الآتية:

$$\tau = \tau_{p0} e^{\frac{E_{tr} - E_F}{k_B T}}. \quad (134-5)$$

ومع انخفاض سوية فيرمي في نصف ناقل من النوع  $n$ -، تنخفض درجة انشغال المصائد بالإلكترونات، مما يؤدي إلى زيادة فترة حياة الأزواج الثقبية - الإلكترونية غير الموزونة، وهذا ما ينتج من العلاقة (134-5).

تبلغ  $\tau$ ، قياساً قصوى، عندما يكون نصف الناقل ذاتياً. وفي هذه الحالة، يُبدي كلا الحدين في العلاقة (119-5) تأثيراً قوياً على  $\tau$ ، وهذا ما يظهر في الشكل (7c-5).

إذا وقعت السوية الطاقية الموافقة للمصيدة،  $E_{tr}$  ، تحت السوية الطاقية الموافقة لكون نصف الناقل ذاتي،  $E_i$  ، فإن كل الاستنتاجات تكون متشابهة. ونحصل من أجل الحالة، التي يكون فيها مستوى الحقن عالياً، حيث حصلنا على العلاقة (5-116) على المعادلة الآتية:

$$\tau = \tau_{p0} + \tau_{n0} = \frac{\gamma_n + \gamma_p}{\gamma_n \gamma_p N_{tr}}, \quad (135-5)$$

وهذا يعني، أن فترة حياة زوج (إلكترون-ثقب)،  $\tau$  ، في حالة التعليم العالي لنصف الناقل المدروس، لا تتعلق بالتراكيز المترادفة للإلكترونات،  $n_0$  ، والثقوب،  $p_0$  ، وتتعدد فقط بتركيز المصادن ومعاملات اقتاصد الإلكترونات والثقوب على المصادن.

وتتغير القيم العددية لفترة الحياة هذه  $\tau$  في أنصاف النوافل المختلفة بشكل كبير. فمثلاً في الجermanium والسيلكون تتغير القيمة  $\tau$  ، تبعاً لتركيز الشوائب، من ملي ثانية حتى أجزاء من الميكروثانية.

### ثانياً- التابعية لدرجة الحرارة:

سندرس الآن نصف ناقل متجلان من النوع- $n$ ، حيث يوضح الشكل (5-8a) تابعية سوية فيرمي لمقلوب درجة الحرارة المطلقة، والشكل (5-8b) التابعيات  $\ln n_d = f(1/T)$  ، و  $\ln n_0 = f(1/T)$  ، و  $\ln p_d = f(1/T)$  التابعية (5-8c).

- لدينا في درجة الحرارة المنخفضة، عندما تقع سوية فيرمي فوق السوية الطاقية للشائبة،  $E_d$  ، المترادفات الآتية:

$$n_0 \gg n_1 \quad \text{و} \quad n_0 \gg p_1 \quad \text{و} \quad n_0 \gg p_0$$

ومن ثم تتحقق المساواة  $\tau = \tau_{p0}$  ، في المجال- $n$  قبل نفاد الشوائب.

- ومع ارتفاع درجة الحرارة تنخفض سوية فيرمي في مجال استنفاد الشوائب وتتغير في حدود المجال  $E_d > E_F > E_i$

○ إذا توضّعت سوية المصادن،  $E_{tr}$  ، كما تظهر في الشكل (5-7a)، بين  $E_d$  و  $E_i$  ، فإننا سنلاحظ في مجال استنفاد الشوائب تغييراً في مسار التابعية  $\tau = f(1/T)$  :

فعندما  $E_d > E_F > E_{tr}$  ، نجد  $\tau = \tau_{p0}$  ، ولكن عندما  $E_F < E_{tr}$  ، يبدو أن  $n_1 > n_0 = N_d$  . وطالما أن:

$$n_1 = N_c e^{-\frac{E_c - E_{tr}}{k_B T}},$$

نجد:

$$\tau = \tau_{p0} \frac{n_1}{n_0} = \tau_{p0} \frac{N_c}{N_d} = e^{-\frac{E_c - E_{tr}}{k_B T}}. \quad (136-5)$$

وهذا يعني، أنه في المجال  $E_{tr} > E_F > E_i$  ، تزداد قيمة فترة الحياة  $\tau$  مع ارتفاع درجة الحرارة أسيّاً، وفقاً للمعادلة (5-136).

- عند الانتقال إلى الناقلية الذاتية تبلغ  $\tau$  قيمة قصوى، ولكن بمواصلة رفع درجة الحرارة، تنخفض على أثر اشغال المصادن بالإلكترونات بسبب التركيز العالى للحملات الحرية للشحنة. وفي هذه الحالة، نجد:

$$\tau = \tau_{p0} \frac{n_i + n_1}{2n_i} + \tau_{n0} \frac{n_i + p_1}{2n_i} \quad (137-5)$$

فضلاً عن ذلك، إذا أخذنا بالحساب سوية فيرمي من أجل نصف ناقل ذاتي،  $E_F = E_i$ ، نحصل على العلاقات الآتية:

$$n_i = N_c e^{-\frac{E_c - E_i}{k_B T}}; \quad (138-5)$$

$$p_1 = N_v e^{-\frac{E_v - E_p}{k_B T}}; \quad (139-5)$$

$$n_i = p_i = N_v e^{-\frac{E_i - E_p}{k_B T}}. \quad (140-5)$$

ومن ثم، يكون لدينا:

$$\tau = \frac{\tau_{p0}}{2} \left( 1 + e^{\frac{E_v - E_i}{k_B T}} \right) + \tau_{n0} \left( 1 + e^{-\frac{E_v - E_i}{k_B T}} \right). \quad (141-5)$$

إذا تحققت المتراجحة،  $(E_{tr} - E_i) \ll k_B T$ ، في بداية مجال الناقليات الكهربائية الذاتية، فيمكننا إهمال الواحد بالمقارنة مع التابع الأسي في القوسين؛ في الحد الأول، يمكننا إهمال الواحد بالمقارنة مع التابع الأسي، وعلى العكس من ذلك في الحد الثاني، سيكون التابع الأسي صغيراً، ومن ثم يمكن إهماله بالمقارنة مع الواحد ضمن القوسين. وفي نهاية المطاف، يمكن إهمال الحد الثاني بشكل عام، ونحصل على العلاقة الآتية:

$$\tau = \frac{\tau_{p0}}{2} e^{\frac{E_v - E_i}{k_B T}}. \quad (142-5)$$

وبمواصلة رفع درجة الحرارة ستُرصد المتراجحة المعاكسة:

$$k_B T \gg (E_{tr} - E_i) \quad (143-5)$$

وعندما تتحقق هذه الأخيرة، المعادلة (143-5)، يمكن عد المقدار الواقع ضمن القوسين في الحد الثاني في المعادلة (141-5) مساوياً الواحد، وعندها يمكن كتابة العلاقة الآتية:

$$\boxed{\tau = \tau_{p0} + \tau_{n0} = \frac{\gamma_n + \gamma_p}{\gamma_n \gamma_p N_{tr}},}$$

ومن ثم، نحصل في مجال الناقليات الذاتية من أجل مستوى حقن عالي على شاكلة المجموع في العلاقة (134-5). وأخيراً، نلاحظ عدم وجود نهاية حدية في مجال الناقليات الذاتية في حالة تحقق المساواة  $E_{tr} = E_i$ . كما أنها نلاحظ في حالة إعادة الاتحاد بين العصابات الطاقية أن التابعية الحرارية تأخذ شكلاً مغایراً للشكل الذي ذكر مؤخراً. ثم إن سلوك إعادة الاتحاد المُمُشَّع وإعادة الاتحاد اللامُشَّع يمكن رصده في إعادة الاتحاد بين العصابات الطاقية، وفي إعادة الاتحاد عبر المصائد المدروسة في هذه الفقرة.

#### 4-5 أشباه سوية فيرمي وسويات الفصل الطاقية: Fermi Quasi-Levels and Demarcation Levels

أصبح لدينا قناعة تامة بأن عدداً كبيراً من الظواهر يمكن وصفها بالاعتماد على سوية فيرمي. ومن المهم جداً هنا لفت الانتباه إلى خاصية مهمة جداً لسوية فيرمي من أجل أي جسمين صلبين متماسين مع بعضهما البعض: ففي شروط التوازن، تكون سوية فيرمي واحدة في أية جملة أجسام واقعة في حالة تماسٍ مع بعضها البعض أو جملة مجاالت أجسام صلبة متماسين مع بعضها البعض، (راجع الفقرة 1). وهذا السلوك صحيح من أجل وصلة معدن- نصف ناقل (عازل)، أو وصلة نصف ناقل- نصف ناقل، أو تماس حبيبات Grain Contacts منفصلة، أو وصلة بين مجالات متماسة مع مجالات أخرى مشابهة أو مخالفة لها. وحتى عند توافر شحنات حجمية في الاتجاهين Non-homogeneous في الجملة المدروسة، تكون سوية فيرمي، في شروط التوازن الترموديناميكي الراسنخ في الجملة المدروسة، ثابتة في كل مكان منها. ولكن يلاحظ، في هذه الحالة، تقوسًّا (انحناءً) لعصابات الطاقة، يوافق انحراف تركيز حاملات الشحنة عن التركيز المتوازن المميز من أجل درجة حرارة وتركيز شوائب محددتان.

يمكن أن ندخل، في شروط عدم التوازن، كمية فيزيائية تشبه سوية فيرمي والتعامل معها على أنها سوية فيرمي. إذن، ندخل ما يسمى شبه- سوية فيرمي المماثل لسوية فيرمي والذي نعرفه بالشكل الآتي:

بدايةً، يمكننا كتابة علاقات مشابهة للعلاقتين (31-3) و (49-3) من الشكل الآتي:

$$n = \frac{2}{\sqrt{\pi}} N_c \Phi_{1/2}(\xi^*), \quad (144-5)$$

حيث

$$\xi^* = -\frac{E_c - E_{Fn}}{k_B T} \quad (145-5)$$

و

$$p = \frac{2}{\sqrt{\pi}} N_v \Phi_{1/2}(\eta^*), \quad (146-5)$$

حيث

$$\eta^* = -\frac{E_{Ep} - E_v}{k_B T} \quad (147-5)$$

يسمى المقداران  $E_{Fn}$  شبه- سوية فيرمي من أجل الإلكترونات و  $E_{Ep}$  شبه- سوية فيرمي من أجل الثقوب.

ويكون لدينا في حالة أنصاف نوافل غير متخللة للعلاقتين (35-3) و (55-3):

$$n = N_c e^{-\frac{E_c - E_{Fn}}{k_B T}}; \quad (148-5)$$

$$p = N_v e^{-\frac{E_{Ep} - E_v}{k_B T}}. \quad (149-5)$$

#### 4-5-1 علاقات تربط تركيز حاملات الشحنة بالتركيز المتوازن في أنصاف النوافل غير المتخللة:

تُطبق في العديد من الحسابات علاقات تربط تركيز حاملات الشحنة بالتركيز الذاتي لها. فإذا أخذنا بالحساب العلاقتين (35-3) و (5-5) نحصل على المعادلة الآتية:

$$n_0 = n_i e^{\frac{E_F - E_i}{k_B T}}. \quad (150-5)$$

ونحصل، تبعاً للعلاقة (55-3)، عندما  $E_F = E_i$  ، على المعادلة الآتية:

$$p_i = N_v e^{\frac{-E_i - E_v}{k_B T}} = n_i. \quad (151-5)$$

ومن ثم، نحصل، تبعاً للعلاقتين (55-3) و (151-5) على المعادلة الآتية:

$$p_0 = n_i e^{\frac{-E_F - E_i}{k_B T}}. \quad (152-5)$$

تُستخدم العلاقتين (150-5) و (152-5) على نطاقٍ واسعٍ من أجل حسابات مختلفة. ويختلف الطرفان الأيمان لهاتين العلاقتين عن بعضهما بعضاً، فقط بإشارة الأُس. وفي هذه الحالة، يُطبق قانون الكتل الفعالة،

$$n_0 p_0 = n_i^2$$

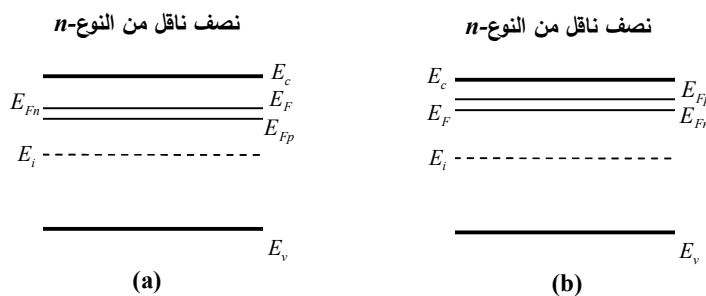
إن العلاقتين (148-5) و (149-5) محققتان من أجل التراكيز اللامتوازنة، ولذلك، يمكننا كتابة العلاقتين الآتتين:

$$n = n_i e^{\frac{E_{Fn} - E_i}{k_B T}}; \quad (153-5)$$

$$p = n_i e^{\frac{-E_{Fp} - E_i}{k_B T}}. \quad (154-5)$$

وهنا حاصل الضرب  $np$  ، لأن شبه-سوية فيرمي من أجل الإلكترونات لا ينطبق على شبه-سوية فيرمي من أجل الثقوب،

وهكذا نرى أن  $E_{Fn} \neq E_{Fp}$  . وهذا ناتج من الاختلاف بين العلاقتين اللتين تحسنان  $n_0$  و  $p_0$  والعلاقتين اللتين تحسنان  $n$  و  $p$  يمكن من استبدال سوية فيرمي العامة والمشتركة من أجل الإلكترونات والثقوب المتوازنة بشبهي سوية فيرمي المختلفين من أجل الإلكترونات والثقوب اللامتوازنة.



الشكل (8-5): موضع شبهي سوية فيرمي من أجل الإلكترونات  $E_{Fn}$  والثقوب  $E_{Fp}$  عند حقن الثقوب (a) وإخراجها (b) في نصف ناقل من النوع- $n$ .

5-4-5 العلاقة بين شبهي سوية فيرمي في حالي حقن منخفضٍ لحاملات الشحنة واستخراجها في نصف ناقل إلكتروني غير متحلل:

لندرس نصف ناقل من النوع- $n$  يوضح الشكل (8-5) مخططاً لعصاباته الطاقية.

يكون مستوى الحقن منخفضاً إذا تحققت المترادفة  $n_0 \ll n$  ، وهذا بدوره يعني أن  $n_0 \approx n$  ، وبالتالي  $E_{Fn} = E_F$  . إذن شبه سوية فيرمي ينطبق على سوية فيرمي من أجل الإلكترونات؛ غير أن الوضع يختلف من أجل الحاملات غير الأساسية للشحنة (الأقلية- الثقوب). إذ من غير الممكن إهمال التركيز الفائض لحاملات الشحنة. ومن ثم:

$$\frac{p}{p_0} = 1 + \frac{\Delta p}{p_0} \quad \text{أو} \quad p = p_0 + \Delta p \quad (155-5)$$

وبالتعويض في الطرف الأيسر من العلاقة الأخيرة (155-5) عن  $p_0$  و  $p$  بقيمتيهما من العلاقات (5-152) و (5-154) نحصل على المساواة الآتية:

$$e^{\frac{E_F - E_{Fp}}{k_B T}} = 1 + \frac{\Delta p}{p_0}. \quad (156-5)$$

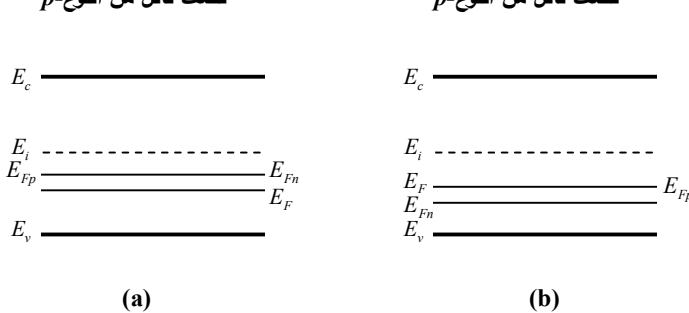
ومنه نحصل على المعادلة الآتية:

$$E_F - E_{Fp} = k_B T \ln \left( 1 + \frac{\Delta p}{p_0} \right). \quad (157-5)$$

إذن، تسمح العلاقة (157-5) بكتابية

علاقة تُعبّر عن انزياح شبه-سوية  
فيرمي  $E_{Fp}$  بالنسبة لسوية فيرمي  
 $E_F$ . وكما يتضح من هذه العلاقة،

فإن شبه-سوية فيرمي  $E_{Fp}$ ، في  
حالة الحقن، ينماح نحو عصابة  
الحاملات الأساسية للشحنة (الثقوب  
هنا)، كما يظهر في الشكل (8a-5):  
في الواقع، كلما ازداد تركيز حاملات  
الشحنة من الإشارة المعطاة اقترب  
موقع شبه-سوية فيرمي من  
العصابة الموافقة لتلك الإشارة.



الشكل (9-5): موضع شبيهي سوية فيرمي من أجل الإلكترونات  $E_{Fn}$  والثقوب عند حقن الإلكترونات (a) وإخراجها (b) في نصف ناقل من النوع-p.

إذا فرضنا الآن، أنه حصل استخراج للثقوب عوضاً عن حقنها في نصف الناقل الإلكتروني، فيجب أن نعد  $\Delta p < 0$ . وعندما تبقى العلاقة (157-5) كما هي، مع الأخذ بالحساب أن  $\Delta p < 0$  ليس أكثر. ولكن، بما أنه لدينا مقدار أقل من الواحد ضمن القوسين، في الطرف الأيمن من المعادلة (157-5)، فإن لوغاريتمه مقدار سالب، وبالتالي  $E_{Fp} > E_F$ ، كما يظهر في الشكل (8b-5).

3-4-5 العلاقة بين شبيهي سوية فيرمي في حالتي حقن منخفضٍ لحاملات الشحنة واستخراجها في نصف ناقل ثقيبي غير متحلل:

لندرس الآن نصف ناقل من النوع-p، الشكل (9-5). بما أن مستوى الحقن منخفض، فإن  $p_0 \approx p$  ومن ثم  $E_{Fp} = E_F$ . وهذا يعني أن شبه-سوية فيرمي من أجل الثقوب ينطبق على سوية فيرمي. فمن أجل الحاملات غير الأساسية للشحنة-الإلكترونات، يكون لدينا العلاقة الآتية:

$$\frac{n}{n_0} = 1 + \frac{\Delta n}{p_0} \quad \text{أو} \quad n = n_0 + \Delta n \quad (158-5)$$

وبالتعويض عن  $n_0$  و  $n$  بقيميهما من العلقتين (150) و (153) في العلاقة الأخيرة (5-158) نحصل على المساواة الآتية:

$$e^{\frac{E_{Fn} - E_F}{k_B T}} = 1 + \frac{\Delta n}{n_0}. \quad (159-5)$$

ومنه نحصل على المعادلة الآتية:

$$E_{Fn} - E_F = k_B T \ln \left( 1 + \frac{\Delta n}{n_0} \right). \quad (160-5)$$

ويتمكن الحصول من العلاقة الأخيرة على  $E_{Fn}$  وانزاحه بالنسبة لسوية فيرمي  $E_F$ . من الواضح، أنه مع وجود حقن ل الإلكترونات، فإن  $E_{Fn}$  ينماح نحو العصابة الطاقية للحاملات الأساسية للشحنة (الإلكترونات هنا)، كما يوضح الشكل (8a-5). وعلى العكس من ذلك، عند استخراج الإلكترونات من نصف ناقل ثقيبي، عندما  $\Delta n < 0$ ، فإن الطرف الأيمن من المساواة (160-5) يبدو سالباً، مما يعني أن  $E_{Fn} < E_F$ ، أي إن شبه-سوية فيرمي من أجل الإلكترونات، ينماح نحو الأسفل مبتعداً عن عصابة الحاملات الأساسية للشحنة، كما يوضح الشكل (8b-5).

#### 4-4-5 سويات الفصل الطaci :Energetic Distinguishing Levels

سويات الفصل الطaci هي سويات طاقة تفصل بين مصائد اقتناص حاملات الشحنة ومصائد إعادة اتحادها. لندخل إلى الدراسة هنا معملاً نرمز له بالرمز  $k_n$ ؛ إذ يساوي نسبة احتمال اقتناص ثقب على مصيدة مشحونة سلبياً إلى احتمال القذف الحراري لـ الإلكترون إلى عصابة الناقليه: تتعين سرعة اقتناص ثقب على مصيدة بالعلاقة (110) من الفقرة السابقة، أما سرعة التوليد الحراري لـ الإلكترونات إلى عصابة الناقليه، فيمكن تعينها من العلقتين (102) و (108-5) من خلال الجداء

$$\gamma_n N_{tr} f_{tr} n_1 . \quad \text{إذن،}$$

$$k_n = \frac{\gamma_p N_{tr} f_{tr} p}{\gamma_n N_{tr} f_{tr} n_1} = \frac{\gamma_p p}{\gamma_n n_1}. \quad (161-5)$$

تسمى المصائد التي من أجلها  $k_n > 1$ ، مصائد إعادة اتحاد *Recombination Traps*، لأنه في هذه الحالة، يكون احتمال إعادة الاتحاد أكبر من احتمال التهيج الحراري، والمصائد التي من أجلها  $k_n < 1$ ، فتسمى مصائد قنص *Capture Traps*. فضلاً عن ذلك، تسمى سوية الطاقة التي من أجلها  $k_n = 1$ ، أي عندما يتساوى احتمال إعادة الاتحاد مع احتمال التوليد الحراري، سوية فصل إلكتروني  $E_{dn}$ .

يمكننا إيجاد موضع هذه السوية الطاقية من شرط المساواة الآتي:

$$\gamma_p p = \gamma_n n_1, \quad (162-5)$$

إذ نستبدل هنا تركيز الثقب،  $p$ ، بالكمية المعرفة بالعلاقة (5-149) ونعتبر عن التركيز المتوازن لـ الإلكترونات،  $n_1$ ، بالعلاقة الآتية:

$$n_1 = N_c e^{-\frac{E_c - E_{dn}}{k_B T}} \quad (163-5)$$

لأن هذا التكبير،  $n_1$ ، يتعين عند تحقق الشرط  $E_F = E_{dn}$ . إذن، بالتعويض عن العلاقتين (5-149) و (5-163) في العلاقة (5-162) نحصل على المعادلة الآتية:

$$\gamma_p N_v e^{-\frac{E_{Fp}-E_v}{k_B T}} = \gamma_n N_c e^{-\frac{E_c-E_{dn}}{k_B T}}, \quad (162-5)$$

ومنه:

$$E_c - E_{dn} = (E_{Fp} - E_v) + k_B T \ln \left( \frac{\gamma_n N_c}{\gamma_p N_v} \right). \quad (163-5)$$

يتضح من العلاقة (163-5) أن موضع سوية الفصل الطاقي الإلكتروني يتعلّق بمجموعة وسطاء: فعند زيادة مستوى الحقن، يقترب شبه-سوية فيرمي،  $E_{Fp}$ ، نحو حد عصابة التكافؤ،  $E_v$ ، مما يؤدي إلى تناقص الفارق  $(E_c - E_{dn})$ ، وهذا بدوره يعني ارتفاع سوية الفصل الطاقي (أي اقترابه من قاع عصابة الناقلة). وعليه، فإن جزءاً من مصادر الفنصل يتحول إلى مصادر إعادة اتحاد.

كما يتضح من العلاقة (163-5) أن إشارة المقدار،  $\gamma_n N_c / \gamma_p N_v$ ، مع

الأخذ بالحسبان أن معاملي اقتناص الإلكترونات،  $\gamma_n$ ، والثقوب،  $\gamma_p$ ، على المصادر يتعلّقان بموضع سوية المصادر. تتحدد التابعية الحرارية لفارق  $(E_c - E_{dn})$  بالتابعية الحرارية لشبه-سوية فيرمي،  $E_{Fp}$ ، وبالتابعية الخطية للحد الأخير في الطرف الأيمن من العلاقة (163-5).

إن السويات الطافية المتوضّعة فوق سوية الفصل الإلكتروني،  $E_{dn}$ ، توافق مصادر فنصل للإلكترونات، وتلك المتوضّعة تحته مصادر إعادة اتحاد.

لندخل الآن إلى الدراسة، المعامل  $k_p$  الذي يحدّد سوية الفصل الطاقي الثقب،  $E_{dp}$ . وبشكل مشابه،

لتعرّف المعامل  $k_n$ ، نعرّف المعامل  $k_p$  بالعلاقة الآتية:

$$k_p = \frac{\gamma_p N_{tr} f_{tr} n}{\gamma_n N_{tr} f_{tr} p_1} = \frac{\gamma_p n}{\gamma_n p_1}. \quad (164-5)$$

ومن أجل سوية فصل ثقبيّة يكون لدينا:

$$\gamma_n n = \gamma_p p_1, \quad (165-5)$$

أضف إلى ذلك، نأخذ العلاقتين الآتيتين بالحسبان

$$p_1 = N_v e^{-\frac{E_{dp}-E_v}{k_B T}} \quad \text{و} \quad n = N_c e^{-\frac{E_c-E_{Fn}}{k_B T}}$$

فنحصل، تبعاً للمعادلة (165-26)، على المعادلة الآتية:

$$E_{dp} - E_v = (E_c - E_{Fn}) + k_B T \ln \left( \frac{\gamma_p N_v}{\gamma_n N_c} \right). \quad (166-5)$$

توافق السويات الواقعية تحت السوية  $E_{dp}$  مصادر فنصل للثقوب، أمّا السويات الواقعية فوق  $E_{dp}$ ، فتوافق مصادر إعادة اتحاد.

يمكّنا استناداً إلى المعادلتين (5-165) و (5-166) كتابة العلاقتين الآتيتين:

$$E_{dn} = E_c - (E_{Fp} - E_v) + k_B T \ln \left( \frac{\gamma_n N_c}{\gamma_p N_v} \right); \quad (167-5)$$

$$E_{dp} = E_c - (E_{Fn} - E_v) - k_B T \ln \left( \frac{\gamma_n N_c}{\gamma_p N_v} \right). \quad (168-5)$$

فإذا فرضنا أن المعاملين  $\gamma_n$  و  $\gamma_p$  مستقلان عن موضع السويات الطاقية في فجوة الطاقة (المنطقة المحظورة)، يمكننا التعبير عن الفارق الطاقي،  $(E_{dn} - E_{dp})$ ، بالشكل الآتي:

$$E_{dn} - E_{dp} = E_{Fn} - E_{Fp}. \quad (169-5)$$

غير أنه، من الضروري ملاحظة أن بعض مصادن الفنص تؤدي أحياناً دور مصادن إعادة اتحاد (لأن هذا الدور يتحدد باحتمال حصول عمليات إعادة الاتحاد والفنص)، وبشكل عام، تمتلك سويات الفصل الطاقي هنا سلوكاً مسروطاً إلى حدٍ ما.